

# İSTİSMAR DÖVRÜNDƏ QUYUNUN TEKNİKİ VƏZİYYƏTİNƏ NƏZARƏTİN SON TEKNOLOGİYALARA ƏSASLANAN QGT ÜSULLARI İLƏ APARILMASININ EFFEKTİVLİYİ

**Ə.Ə.Mahmudov, Z.C.Axundov**

GGİ, "Mədəngeofizika" İdarəsi

**Açar sözlər:** Quyuların bütövlüyü, kəmərlərdə zədə, MTD (Magnetic Thickness Detector), MFC (Multifinger Caliper Tool), ANT (Acoustic Noise Tool), NKB (Nasos-kompressor boruları)

## Giriş

Quru və dəniz yataqlarının istismarında quyuların bütövlüğünün saxlanması zədə yerlərinin müəyyənləşdirilməsi və zamanında aradan qaldırılması quyunun istismar müddətinin uzadılmasına, əlavə vaxt itkilərinin azaldılmasına imkan verir. Müəyyən dövr ərzində istismar olunan quyuların sayının artması, bu quyularda əsasən quyunun məhsuldalar istismar dövrünü uzadılmasını təmin edən baryerlərə təkrar nəzarətin aparılmasına ehtiyac yaradır.

İstismar kəmərlərində və nasos-kompressor borularında quyu bütövlüğünün qiymətləndirilməsi aktual problemdən biridir. Məsələnin həlli neft sənayesində bir neçə ənənəvi üsullarla aparılır, lakin bir çox hallarda bu üsullar yalnız birinci baryerin daxili diametrinin mexaniki ölçülməsi, elektro-maqnit, ultra-akustik qalınlıq ölçən cihazlarla icra edilir ki, bir çox hallarda quyu konstruksiyasında məhdud keçidlər bu üsulların tətbiqini məhdudlaşdırır, eləcə də bir neçə konsentrik kəmərlərin qiymətləndirilməsində onlar imkansızdır. Kiçik diametrlı nasos kompressor boruları ilə tamamlanan quyularda istismar və texniki kəmərlərin qiymətləndirilməsi bu tip ənənəvi cihazlarla mümkün olmur və ehtiyac duyulur ki, tamamlama boruları qaldırılsın, xarici kəmərlər ənənəvi cihazlarla qiymətləndirilsin və bu da kifayət qədər böyük xərc tələb edir.

Yeni elektro-maqnit qalınlıq ölçən texnologiyalı kiçik diametrlı MTD-cihazı bu tip quyularda qarşıya qoyulan məsələləri həll edir. Texnologiya cihazın generator makarası vasitəsilə yaradılan burulğanlı elektro-maqnit J1, J2 sahələrinin xarakteristikalarının öyrənilməsinə əsaslanır ki, bu da nasos kompressor borularının, eləcə də 3 kəmərə qədər metal qalınlıqlarının kəmiyyət qiymətləndirilməsinə imkan yaradır. Cihazın diametri 1-11/16" (43 mm)-dir və bu kiçik diametrlı nasos-kompressor borularının daxilində ölçülərin aparılmasına şərait yaradır. Cihazın tətbiqinin aktuallığı əsasən məhdud diametrlər

quyularda və mürəkkəb quruluşa malik tamamlama quyularında əvəzsiz rol oynamaqdadır. Cihaz bir çox hallarda kompleks əyrilərlə emal olunur və alınan məlumatların analizi bir daha sübut edir ki, cihaz quyuların bütövlüğünün qiymətləndirilməsində əvəzsiz nəzarət texnologiyasıdır.

Kəmərlərdə zədə, quyuların bütövlüğünün pozulması problemlərinin ən əsas və riskli problemlərindəndir. Quyularda əsas baryer nasos-kompressor və ikinci baryer istismar kəmərlərinin korroziyasına nəzarət quyuların qiymətləndirilməsində əsas kritik cəhətlərdir. Bəzi hallarda korroziya əsas arxa baryerlərdən NKB-nin və ya kəmərə qədər yayılma bilir. İstismar kəmərlərində korroziyanın ölçülülməsi NKB-lərin quyu olduğu hallarda və ya bir neçə konsentrik baryerlərdən ibarət quyularda kifayət qədər mürəkkəb məsələlərdəndir. Quyularda korroziyanın təyini bir çox hallarda H<sub>2</sub>S, su vurucu quyularda suyun duzluğunu və kəmər arxasındaki sulu layların xarakteristikası ilə bağlı olur.

**Cihaz və onun iş prinsipi haqqında:** Elektro-maqnit defektometriya və tolşinometriya (kəmərin divarının qalınlığı) kəmərlərdə cihazın generator makarası vasitəsilə oyadılan burulğanlı elektro-maqnit sahəsinin təbiətinin öyrənilməsinə əsaslanır.

MTD43C-G-kəmərlərdə zədə yerinin təyinində ən sonuncu texnologiyalardan hesab olunur. Cihaz real vaxt və yaddaş ölçü rejimlərində işləmək imkanlarına malikdir. Real vaxt sistemində cihaz telemetriya modulu vaistəsi ilə informasiyanı yer üstü panelə ötürür. Cihaz elektron və qəbul edici hissələrdən ibarət konstruktiv quruluşa malikdir. Qəbul edici hissə A-uzaq, C-yaxın qəbuledicilərdən təşkil olunmuşdur. Şualandırıcı hissə yüksək elektro-maqnit sahəsi yaradan sarğıdan ibarətdir. Cihazın elektron hissəsi qidalandırıcı tənzimləyicidən, filtrləmə və mikrokontrollerdən ibarətdir. MTD43C-G-cihazının iş prinsipi Faradayin elektro-maqnit induksiya hadisəsinə əsaslanır. Belə ki, cihazın

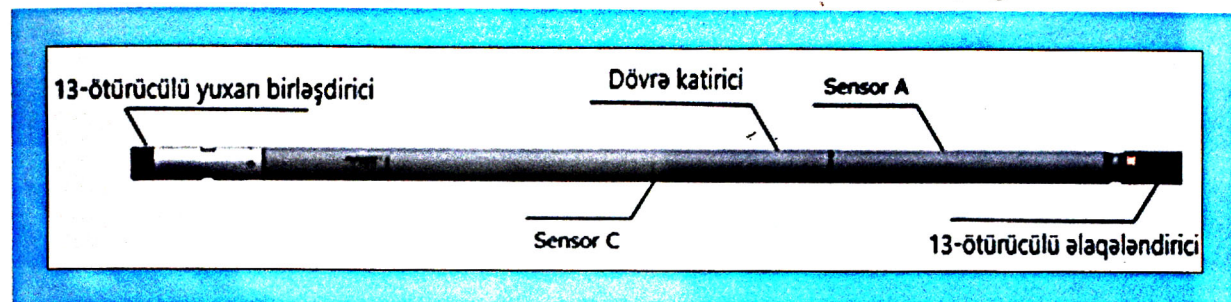
şüalandırıcısından yayılan elektromaqnit sahəsi, qəbul edicidə zamanla dəyişən induksiyalananmış elektrik hərəkət qüvvəsi yaradır. Bu sahənin dəyişməsi kəmərdə çatların, qalınlıq dəyişmələrinin qiymətinə uyğun olaraq dəyişir. Konturda yaranan induksiya EHQ-sı konturdan keçən maqnit selinin dəyişmə sürətinə mütənasibdir.

$$E = d\Phi_B/dt$$

Burada  $E$  - e.h.q-dir,  $\Phi$  - maqnit selidir.

Zamanan dəyişən ikinci dərəcəli maqnit sahəsini yaradır ki, bu da qəbuledicinin elektromaqnit sahəsini dəyişərək qəbuledicidə EHQ-yaradır. Bu sahəndə dəyişməsi kəmərlərdə olan korroziya, deformasiya, çat, qırılma, qalınlıqlar hesabına olur.

C-qəbuledicisinin işləmə prinsipi A-qəbuledicisində olduğu kimidir, yeganə fərq sərginin ölçüsündədir. Bu qəbuledici maqnit sahəsinin zəif qiymətlərini qeyd edir bu birinci barryer hesab olunur. Əgər quyu bir neçə kəmərdən ibarət olarsa birinci boru NKB-borusu kimi, digər kəmər isə texniki

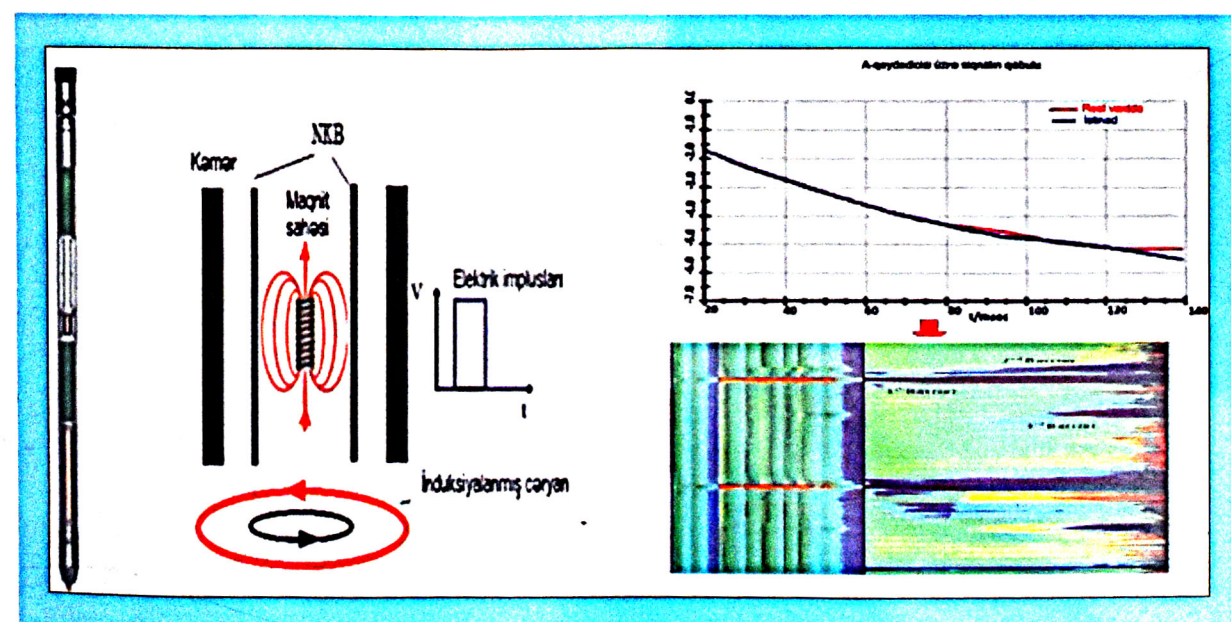


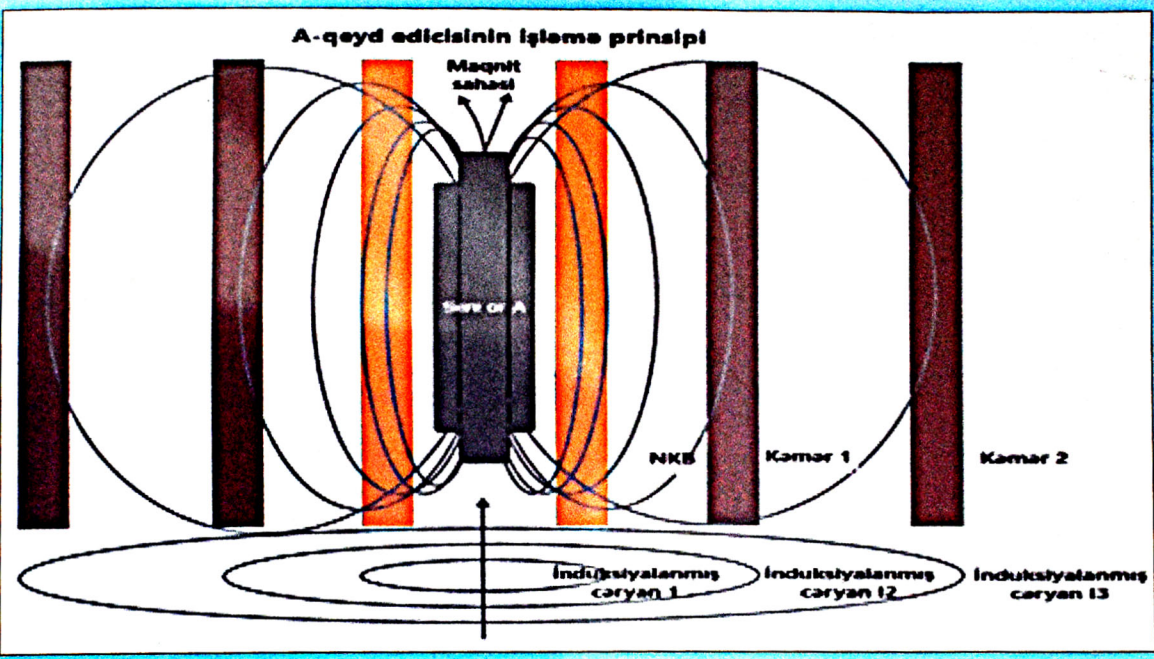
Məlumatların dekodlanması və yerüstü paneldə qəbul olunduqdan sonra korroziya, deformasiya, çat, qırılma, üç kəmərə qədər quyu quruluşlarında individual olaraq hər bir kəmərin daxili və xarici metal itkilerinin minimal və maksimal qiymətləri, divar qalınlıqları dəqiq olaraq analiz olunur.

**A-qəbuledicisinin** işləmə prinsipi şəkildə əks olunmuşdur. Nümunədə elektrik sahəsinin əmələ gətirdiyi maqnit sahəsinin NKB-borusunda və texniki kəmərlərdə yaratdığı burulğanlı I1, I2 və I3 eddi cəryanları (burulğanlı cəryanlar) öz növbəsində

kəmər kimi istinad olunur. A və C-qeydedici kombinasiyası şaquli çatları, korroziyaları və boruların divar qalınlıqlarını qiymətləndirməyə imkan verir.

Texniki və istismar kəmərlərinin texniki vəziyyətlərinin öyrənilməsi zamanı elektromaqnit defektoskop (MTD) cihaz ilə bərabər, müasir təlebatlara cavab verən çoxayaqlı kavernomer (MFC) də tətbiq edilir. MTD cihazının məlumatları interpretasiya prosesində elektromaqnit dalğaların nüfuzetmə dərəcəsinə görə 6 kateqoriyadan ibarət olmaqla təsnif edilir. Bunlar A, B, C, D, E, R olmaqla





0-20% və >20% diapazonlardır.

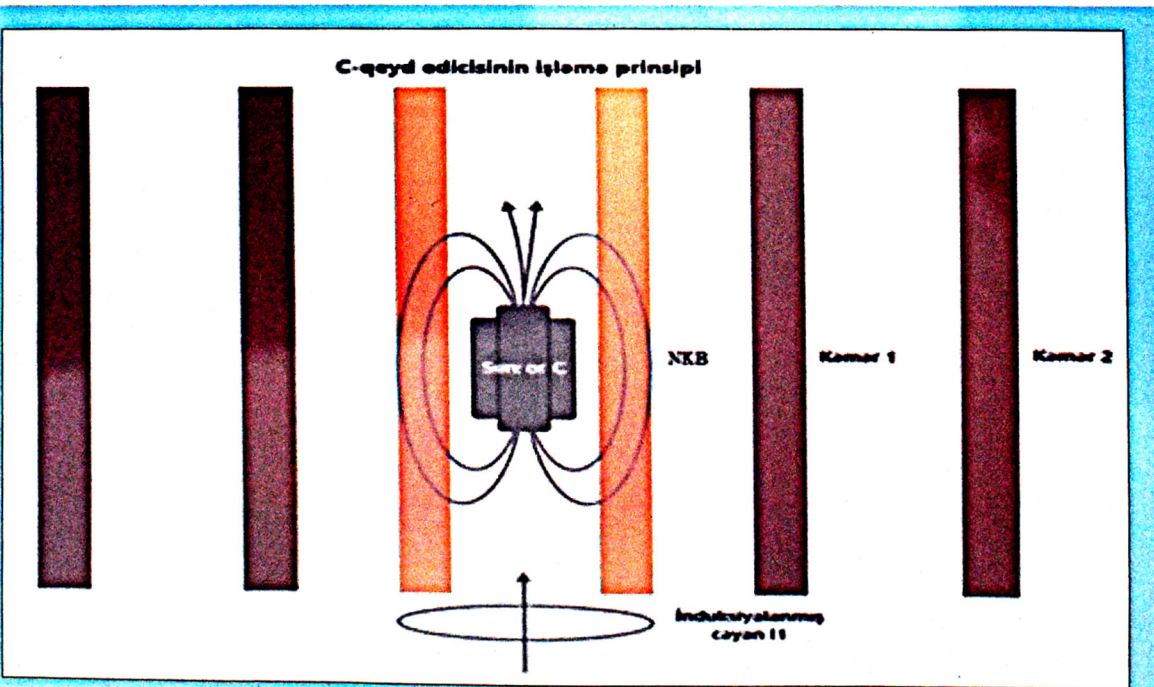
MTD-quyu cihazından alınan məlumatların analizi və interpretasiyası aşağıdakı sxematik təsvir üzrə icra edilir:

*Quyu A:* Elektromaqnit Defektomer-Qalınlıq-ölçən (MDT) BD-A sayılı quyuda quyunun texniki vəziyyətinin təyini və 127.0 mm-in (daxili diametr 108.6 mm), texniki kəmərinin – 339.7 mm (daxili

diametri 313.6 mm), texniki kəmərin – 473.1 mm (daxili diametri 446.1mm) defekt və ya zədə yerlərinin təyini məqsədilə yerinə yetirilmişdir.

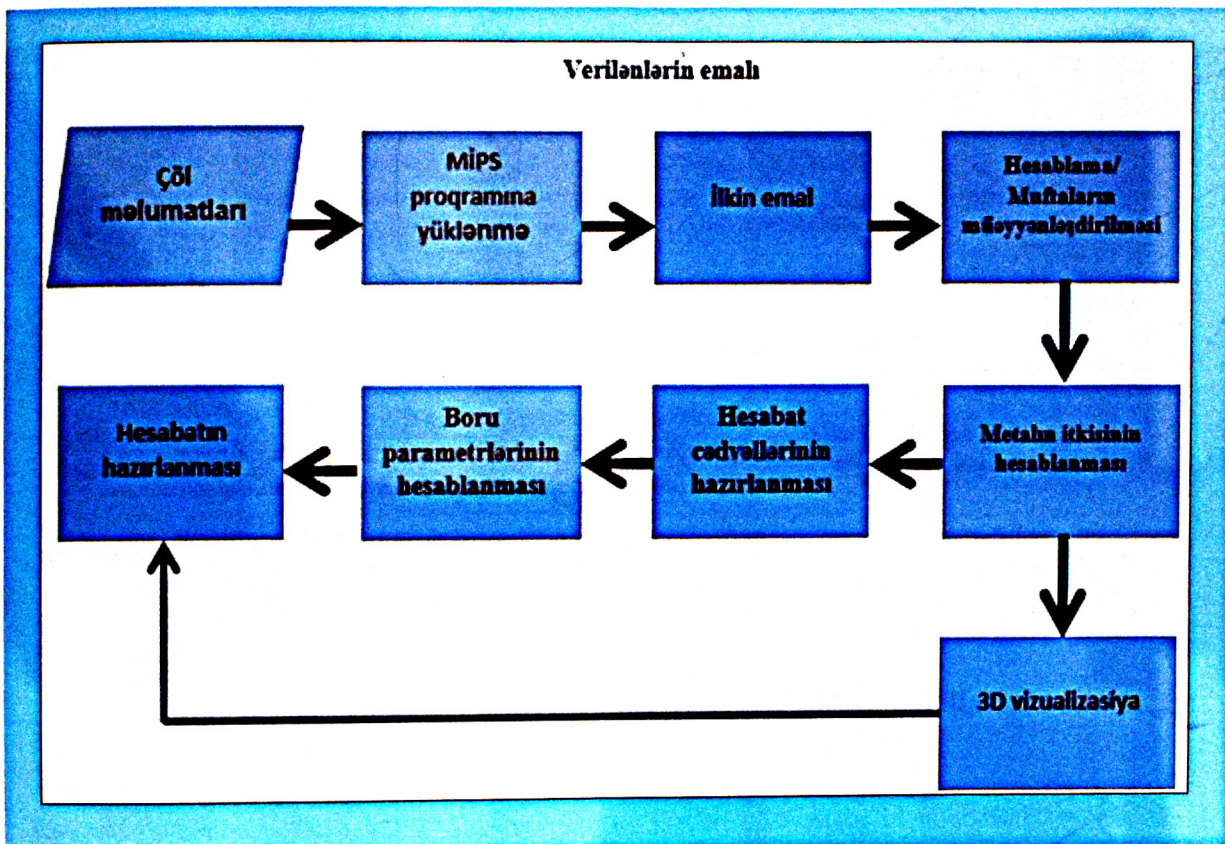
*Quyu A: MDT ölçü intervalı 2300.0-2381.5 m*

BD-A sayılı quyusunda elektromaqnit defektoskopiya (MDT) ölçü işləri (QK, termometriya ilə birgə) aparılmış, 127.0 mm-lik qazma borusunun (daxili diametr 108.6 mm), 339.7mm-lik (daxili di-



Təsnifat	Nüfuzetmə %	Əlavə qeyd
A	0-5	Yüngül
B	5>10%	Cüzi
C	10>15%	Orta
D	15>20%	Yüksək
E	>20%	İntensiv
R	<0%	< nominal daxili radiusdan

ametr 313.6mm) və 473.1mm-lik kəmərlərin (daxili diametr-446.1mm) texniki vəziyyətləri müəyyən R olmaqla 0-20% və >20% diapazonlarına bölünmüdüdür. Qazma borusunda maksimal metal itk-

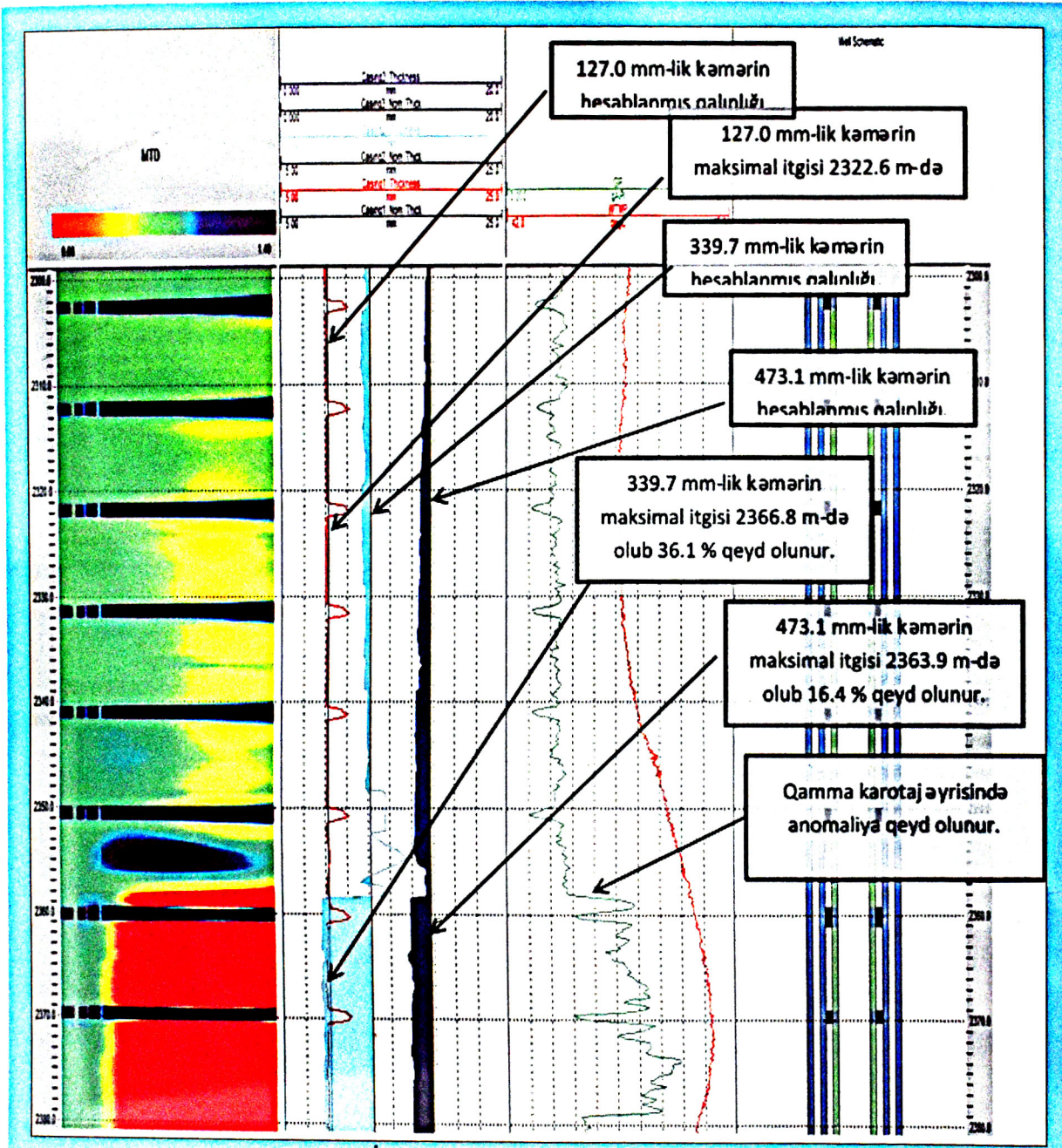


edilmişdir. Belə ki, interpretasiya nəticəsində kəmərlərin müxtəlif dərinliklərində metal itkilərinin maksimal hədləri, qalınlıqları təyin olunmuşdur. Bu da onların nə dərəcədə zədələnməsi haqqında mülahizə yürütmək imkanı vermişdir. Metalın hesablanmış 4.3% maksimal itkisi 127.00 mm-lik qazma borusunda 2188.2 m-də, 339.7mm-lik texniki kəmərdə 36.1% maksimal metal itkisi 2366.8 m-də, 473.1 mm-lik texniki kəmərdə isə 16.4%-lə maksimal metal itkisi 2363.9 m-də qeyd olunmuşdur.

İnterpretasiya prosesində elektromaqnit dalğaların nüfuzetmə dərəcəsinə görə 6 kateqoriyadan ibarət təsnifatdan istifadə edilmişdir. Bunlar A, B, C, D, E,

isi qeyd olunan 2188.2 m-də kəmərin nominal qalınlığı 9.19 mm olduğu halda 8.79 mm-ə, 339.7 mm-lik texniki kəmərdə maksimal metal itkisi qeyd olunmuş 2366.8 m-də kəmərin nominal qalınlığı 13.06 mm olduğu halda 8.04 mm, 473.1 mm-lik texniki kəmərdə maksimal metal itkisi qeyd olunmuş 2363.9 m-də kəmərin nominal qalınlığı 13.49 mm-dən 11.28 mm-ə düşmüşdür.

Beləliklə, *Şəkil 1-dən* də göründüyü kimi və cədvəl 1, cədvəl 2-nin analizindən bu nəticəyə gəlmək olar ki, 339.7 mm və 473.1 mm-lik kəmərlərin texniki vəziyyəti ilkin istismara verilmiş vəziyyətindən çox fərqlidir, müvafiq olaraq 2351.3-



*Şəkil 1. İstismarda olan kəmərlərin texniki vəziyyəti*

2381.0 m və 2361.0-2369.1 m dərinliklərində bütövlükleri itirilmiş və zədəli olduqları müəyyənləşdirilmişdir. MTD-ilə eyni zamanda yerinə yetirələn qamma karotaj əyrisində yaranan anomaliya kəmərin bütövlüyünün itirilməsi sahəsinə uyğun gəlir.

**Quyu B:** Elektromaqnit Defektor-Məlumatlı - çən (MTD) L - B sayılı quyuda quyunun texniki vəziyyətinin təyini 146.05 mm (daxili diametr 127.05 mm) istismar kəmərinin defekt və ya zədə

yerlərinin təyini məqsədilə yerinə yetirilmişdir.

**Şəkil 2 və 3-cü cədvəlin** analizindən belə nəticəyə gəlmək olar ki, 145.05 mm-lıq İstismar kəməri ilkin istismara verilmiş vəziyyətindən çox fərqlidir, müvafiq olaraq 517.2 metrdə bütövlüyünü itirmiş və zədəli olduğu müəyyənləşdirilmişdir. MTD ilə eyni zamanda yerinə yetirələn termometriya ölçü işləri və karotaj əyrisində yaranan anomaliya kəmərin bütövlüyünün itirilməsi sahəsinə uyğun gəlir.

Quyuların bütövlüyünün qiymətləndirilməsində

Cədvəl 1

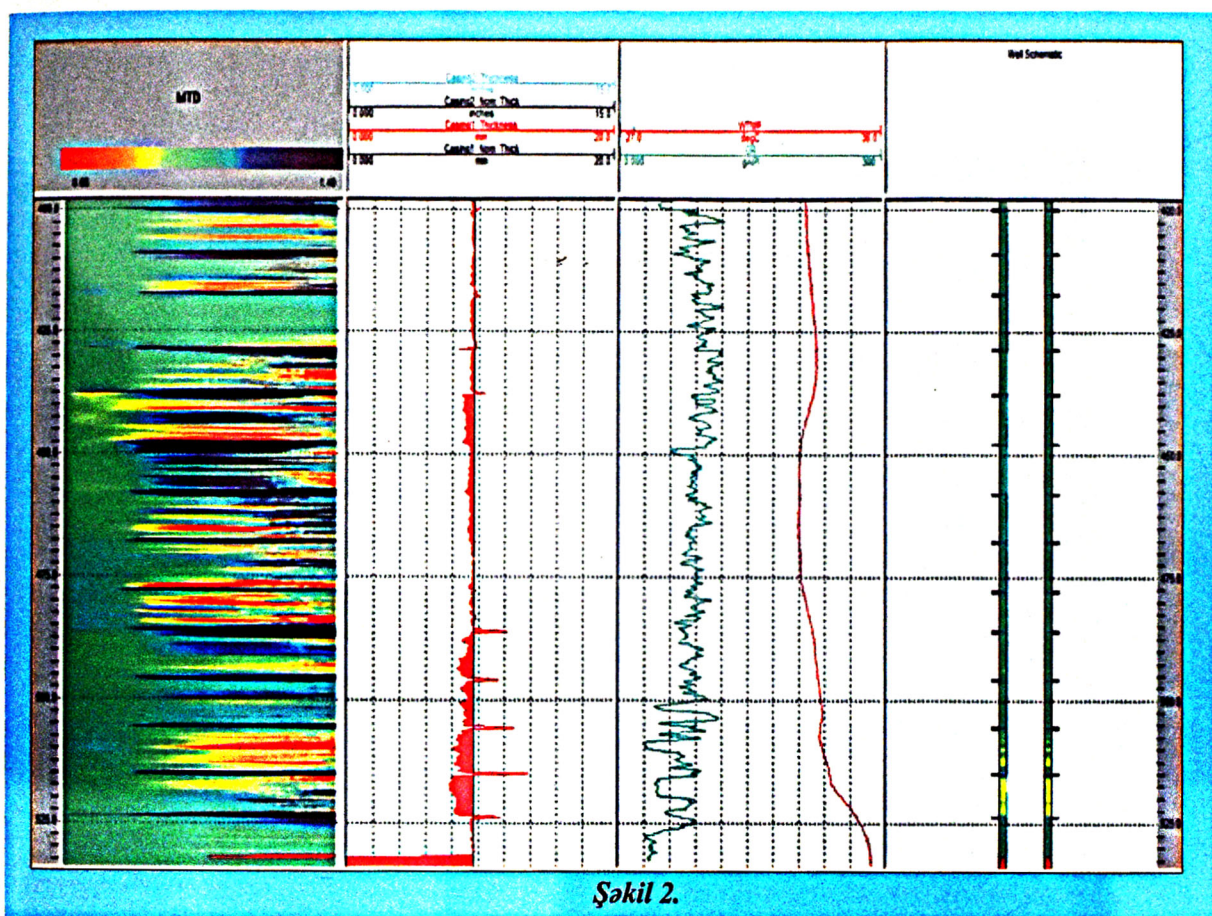
Kəmərin yuxarı hissəsi (m)	Kəmərin aşağı hissəsi (m)	Uzunluq (M)	Kəmərin nominal qalınlığı (mm)	Kəmərin minimal qalınlığı (mm)	Kəmərin maksimal itki intervalı (m)	Kəmərin maksimal itkisi (%)	Təsnifat
1998.90	2004.60	5.67	13.06	12.10	2002.50	7.4	B
2005.90	2014.10	8.19	13.06	12.31	2006.70	5.8	B
2015.50	2023.80	8.31	13.06	12.49	2023.80	4.4	A
2025.00	2033.40	8.34	13.06	12.39	2026.50	5.1	B
2034.60	2042.90	8.29	13.06	12.46	2042.90	4.6	A
2044.20	2052.50	8.31	13.06	12.17	2048.10	6.8	B
2053.80	2062.10	8.31	13.06	12.13	2059.70	7.2	B
2063.40	2071.70	8.31	13.06	12.58	2069.70	3.7	A
2073.00	2081.30	8.29	13.06	12.54	2079.50	4.0	A
2082.50	2090.90	8.31	13.06	12.16	2086.20	6.9	B
2092.20	2100.50	8.31	13.06	12.34	2097.50	5.5	B
2101.80	2110.10	8.29	13.06	12.52	2102.20	4.2	A
2111.40	2119.70	8.31	13.06	12.43	2119.70	4.8	A
2121.00	2129.30	8.31	13.06	12.16	2127.30	6.9	B
2130.50	2138.90	8.34	13.06	12.24	2135.00	6.3	B
2140.20	2148.50	8.31	13.06	11.95	2146.20	8.5	B
2149.70	2158.10	8.31	13.06	12.07	2158.10	7.6	B
2159.40	2167.60	8.24	13.06	11.88	2162.20	9.1	B
2168.90	2177.20	8.26	13.06	12.16	2172.00	6.9	B
2178.50	2186.80	8.31	13.06	11.92	2184.80	8.8	B
2188.00	2196.40	8.36	13.06	12.55	2194.70	3.9	A
2197.70	2206.00	8.31	13.06	12.09	2202.40	7.5	B
2207.20	2215.60	8.34	13.06	12.35	2207.70	5.4	B
2216.90	2225.20	8.34	13.06	12.23	2225.20	6.4	B
2226.50	2234.80	8.29	13.06	12.08	2230.70	7.5	B
2236.10	2244.40	8.31	13.06	12.28	2237.20	6.0	B
2245.70	2254.00	8.29	13.06	12.27	2254.00	6.0	B
2255.30	2263.60	8.31	13.06	12.15	2261.20	7.0	B
2264.90	2273.20	8.29	13.06	12.10	2269.60	7.3	B
2274.50	2282.80	8.31	13.06	12.00	2277.90	8.2	B
2284.10	2292.40	8.29	13.06	12.40	2285.10	5.1	B
2293.70	2302.00	8.29	13.06	12.51	2300.00	4.2	A
2303.30	2311.60	8.34	13.06	12.14	2308.30	7.1	B
2312.90	2321.20	8.29	13.06	12.26	2321.20	6.1	B
2322.40	2330.80	8.34	13.06	12.18	2323.50	6.8	B
2332.10	2340.60	8.50	13.06	12.41	2335.70	5.0	A
2341.90	2350.00	8.11	13.06	12.57	2347.40	3.7	A
2351.30	2359.20	7.98	13.06	8.54	2359.20	34.6	
2361.20	2369.10	7.86	13.06	8.34	2366.80	36.1	
2370.40	2381.00	10.61	13.06	8.54	2380.70	34.6	

Təsnifat	Nüfuzetmə %	Əlavə qeyd
A	0-5	Yüngül
B	5>10%	Cüzi
C	10>15%	Orta
D	15>20%	Yüksək
E	>20%	İntensiv
R	<0%	< nominal daxili radiusdan

Cədvəl 2

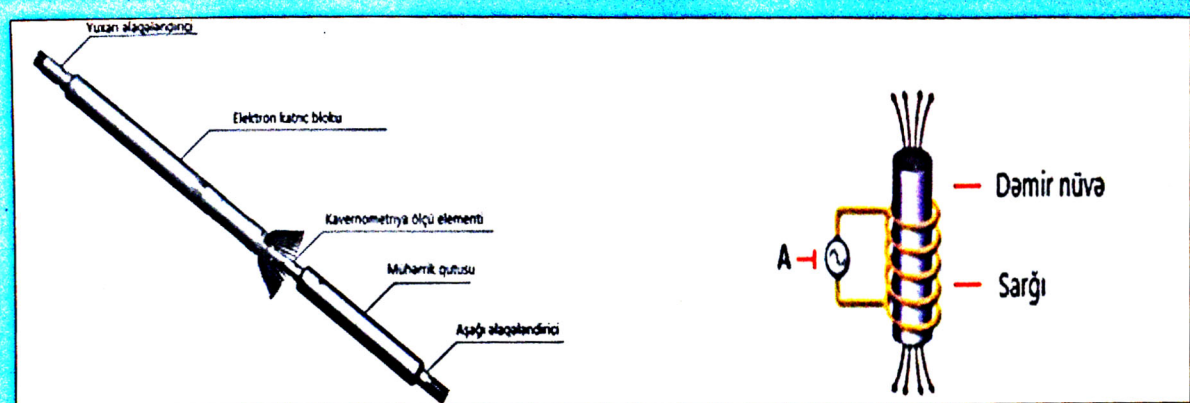
Kəmərin yuxarı hissəsi (m)	Kəmərin aşağı hissəsi (m)	Uzunluq (M)	Kəmərin nominal qahnlığı (mm)	Kəmərin minimal qahnlığı (mm)	Kəmərin maksimal itki intervalı (m)	Kəmərin maksimal itkisi (%)	Təsnifat
1998.90	2004.60	5.67	13.49	12.98	1999.20	3.8	A
2005.90	2014.10	8.19	13.49	12.82	2006.90	4.9	A
2015.50	2023.80	8.31	13.49	12.75	2022.00	5.5	B
2025.00	2033.40	8.34	13.49	12.74	2026.30	5.5	B
2034.60	2042.90	8.29	13.49	12.87	2042.90	4.6	A
2044.20	2052.50	8.31	13.49	12.79	2045.20	5.2	B
2053.80	2062.10	8.31	13.49	12.88	2057.20	4.5	A
2063.40	2071.70	8.31	13.49	13.03	2065.30	3.4	A
2073.00	2081.30	8.29	13.49	12.82	2080.50	4.9	A
2082.50	2090.90	8.31	13.49	12.89	2083.60	4.5	A
2092.20	2100.50	8.31	13.49	12.68	2100.50	6.0	B
2101.80	2110.10	8.29	13.49	12.68	2102.20	6.0	B
2111.40	2119.70	8.31	13.49	12.89	2112.20	4.5	A
2121.00	2129.30	8.31	13.49	12.97	2122.60	3.8	A
2130.50	2138.90	8.34	13.49	12.96	2131.80	3.9	A
2140.20	2148.50	8.31	13.49	12.89	2141.60	4.4	A
2149.70	2158.10	8.31	13.49	13.13	2158.10	2.6	A
2159.40	2167.60	8.24	13.49	13.02	2160.90	3.5	A
2168.90	2177.20	8.26	13.49	13.05	2171.50	3.2	A
2178.50	2186.80	8.31	13.49	13.06	2179.70	3.2	A
2188.00	2196.40	8.36	13.49	13.09	2190.00	2.9	A
2197.70	2206.00	8.31	13.49	12.89	2201.60	4.4	A
2207.20	2215.60	8.34	13.49	12.71	2209.30	5.7	B
2216.90	2225.20	8.34	13.49	12.85	2218.90	4.7	A
2226.50	2234.80	8.29	13.49	13.06	2228.10	3.2	A
2236.10	2244.40	8.31	13.49	12.97	2244.40	3.9	A
2245.70	2254.00	8.29	13.49	12.84	2247.30	4.8	A
2255.30	2263.60	8.31	13.49	12.90	2263.60	4.3	A
2264.90	2273.20	8.29	13.49	12.81	2269.10	5.0	B
2274.50	2282.80	8.31	13.49	13.04	2276.10	3.3	A
2284.10	2292.40	8.29	13.49	13.07	2286.60	3.1	A
2293.70	2302.00	8.29	13.49	13.08	2302.00	3.0	A
2303.30	2311.60	8.34	13.49	12.93	2311.60	4.1	A
2312.90	2321.20	8.29	13.49	12.51	2318.60	7.2	B
2322.40	2330.80	8.34	13.49	12.36	2330.80	8.4	B
2332.10	2340.60	8.50	13.49	12.19	2340.60	9.6	B
2341.90	2350.00	8.11	13.49	12.09	2343.00	10.4	C
2351.30	2359.20	7.98	13.49	11.58	2359.20	14.1	C
2361.20	2369.10	7.86	13.49	11.28	2363.90	16.4	D
2370.40	2381.50	11.09	13.49	11.52	2373.26	14.4	C

Təsnifat	Nüfuzetmə %	Əlavə qeyd
A	0-5	Yüngül
B	5>10%	Cüzi
C	10>15%	Orta
D	15>20%	Yüksək
E	>20%	İntensiv
F	<0%	< nominal daxili radiusdan



Cədvəl 3

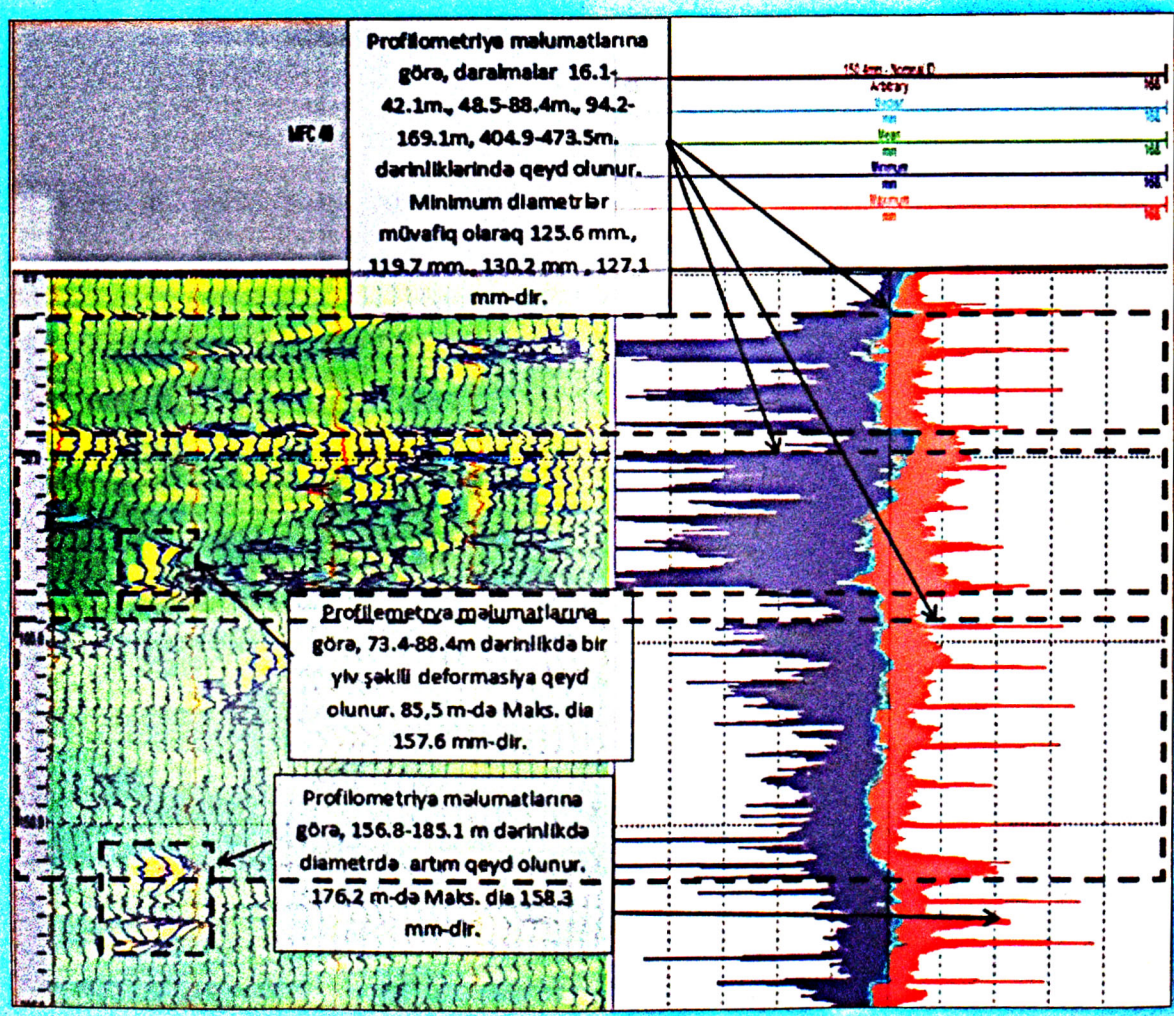
Kəmərin yuxarı hissəsi (m)	Kəmərin aşağı hissəsi (m)	Uzunluq (M)	Kəmərin nominal qalınlığı (mm)	Kəmərin minimal qalınlığı (mm)	Kəmərin maksimal itki intervalı (m)	Kəmərin maksimal itki (%)	Təsnifat
486.43	495.65	9.22	9.50	8.16	14.06	493.85	C
496.18	505.38	9.21	9.50	8.38	11.74	500.58	C
505.95	514.79	8.84	9.50	7.79	17.96	510.16	D
515.30	523.71	8.40	9.50	7.61	19.93	517.22	D
524.12	531.53	7.41	9.50	9.23	2.83	524.53	A



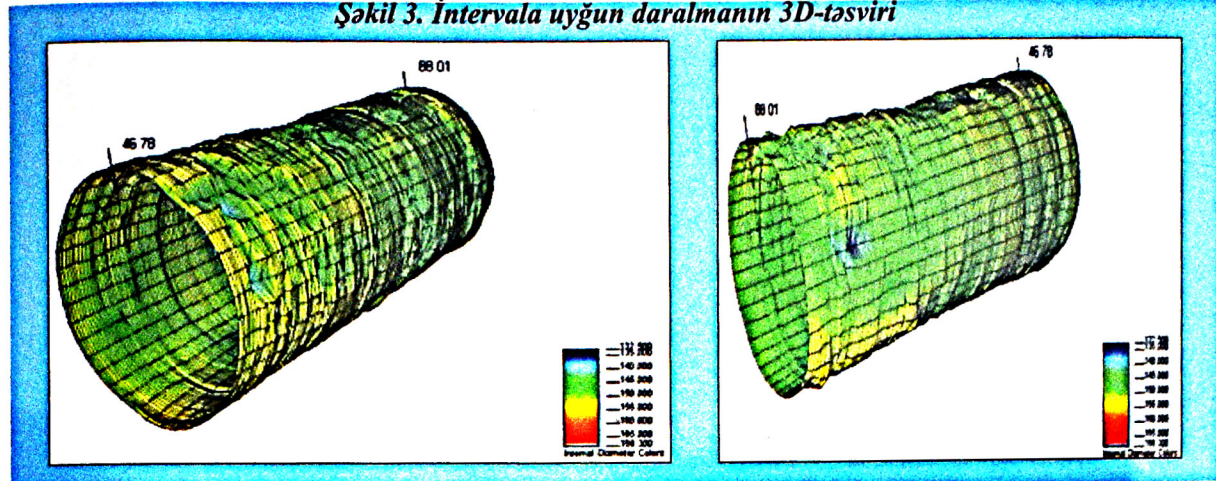
MTD-cihazinin kompleksində tətbiq olunan cihazlardan biri də MFC (Çox ayaqlı kavernometr) cihazıdır. Cihaz uyğun olaraq 24, 40, 56 ayaqdan ibarət olmaqla istehsal olunur.

*Cihaz və iş prinsipi haqqında:* MFC40C-G, 40-

Cihazı kəmərdə və ya nasos kompressor borularında deformasiya, əyilmə, çat, perforasiya, kəmərlərin korroziyası şəraitini təyin etməkdə istifadə olunur. Cihaz 24, 40, 56 qollardan ibarət və aşağı-yuxarı mərkəzləşdiricilərdən ibarət olmaqla quyuya endiri-



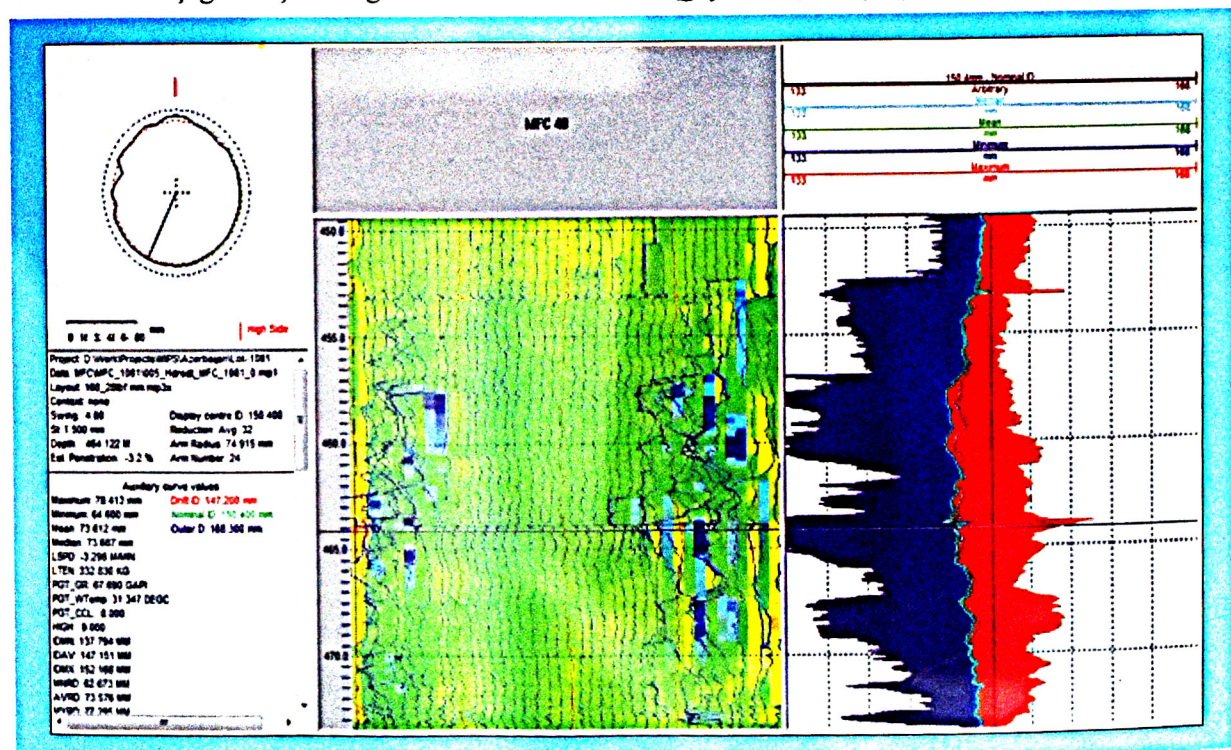
*Şəkil 3. İntervala uyğun daralmanın 3D-təsviri*



lir. Cihazın ölçü diapozonu 40 ayaqlı MFC cihaz üçün 80 mm-245 mm arası dəyişməklə, cihaz 40.diametr ölçü məlumatını, quyu oxu boyu temperatur, əyilmə və oxboyu fırlanması məlumatları yer üstü panelə göndərir. Aparılan ölçü işləri program paketinin köməyi ilə 3 görünüşündə zədələrin borularda əyani təsvirini təqdim etməyə kömək edir. Cihaz əsasən aşağıdakı şəkildə göstərilən hissələrdən

icliyin hərəkəti isə sarğı boyunca cərəyan yaratmış olur. MFC40C-G cihazının 40 ədəd ayaqları quyu divarı ilə temasda olur və bu ayaqların daxili diametrə görə yerdəyişməsi dəmir içlik təbəqənin hərəkətinə səbəb olur və bu hərəkət çıxışda elektrik siqnalı yaradır. Hər bir siqnal AD-çevricisi və CAN port telemetriya vasitəsi ilə yerüstü panelə ötürülür.

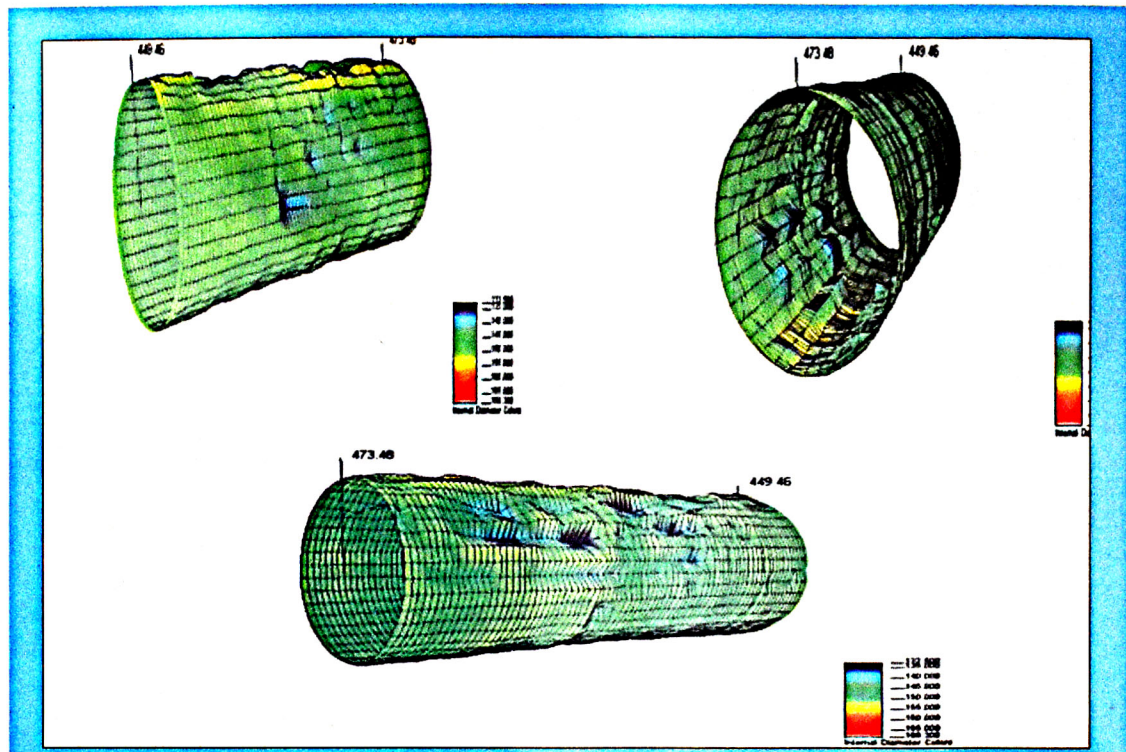
*Quyu A: Çox ayaqlı kavernometriya cihazı ilə*



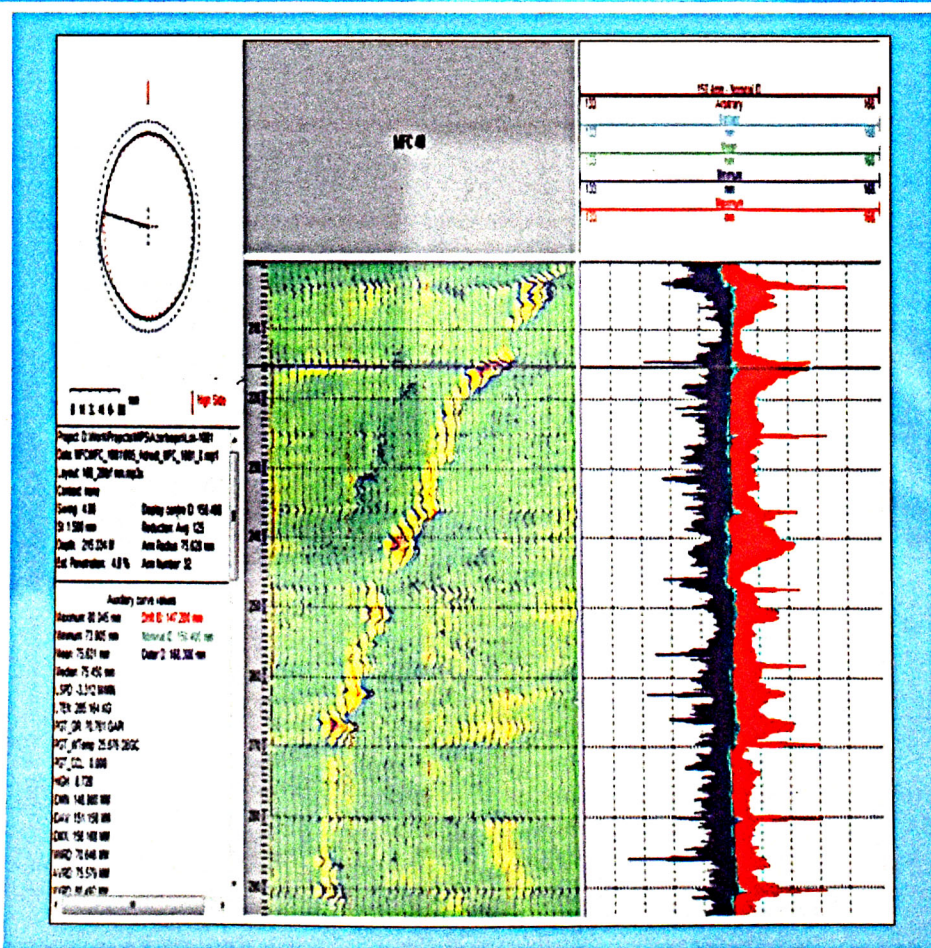
ibarətdir:

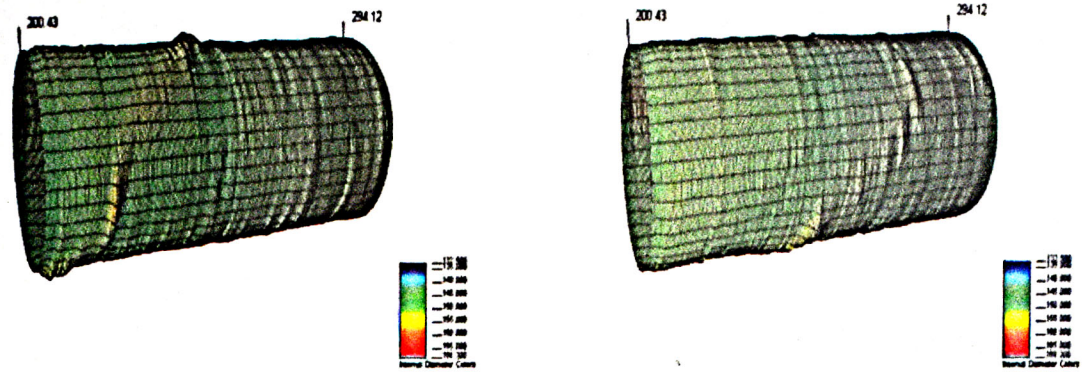
Multi-Finger cihazda şəkildən göründüyü kimi elektromaqnit induksiyaya əsaslanan iş prinsipinə malikdir. Belə ki, cihaza cərəyan verilən zaman, dəmir içlik boyunca maqnit sahəsi yaranır və dəmir

(MFC40) L - A saylı quyuda quyunun texniki vəziyyətinin təyini 168,3 mm (daxili diametr 150,04 mm) istismar kəmərinin defekt və ya zədə yerlərinin təyini məqsədilə yerinə yetirilmişdir. Alınan nəticələr qrafik təsvirlərdə qeyd olunmuşdur.



Şəkil 4. İntervallara uyğun daralmanın 3D-təsviri





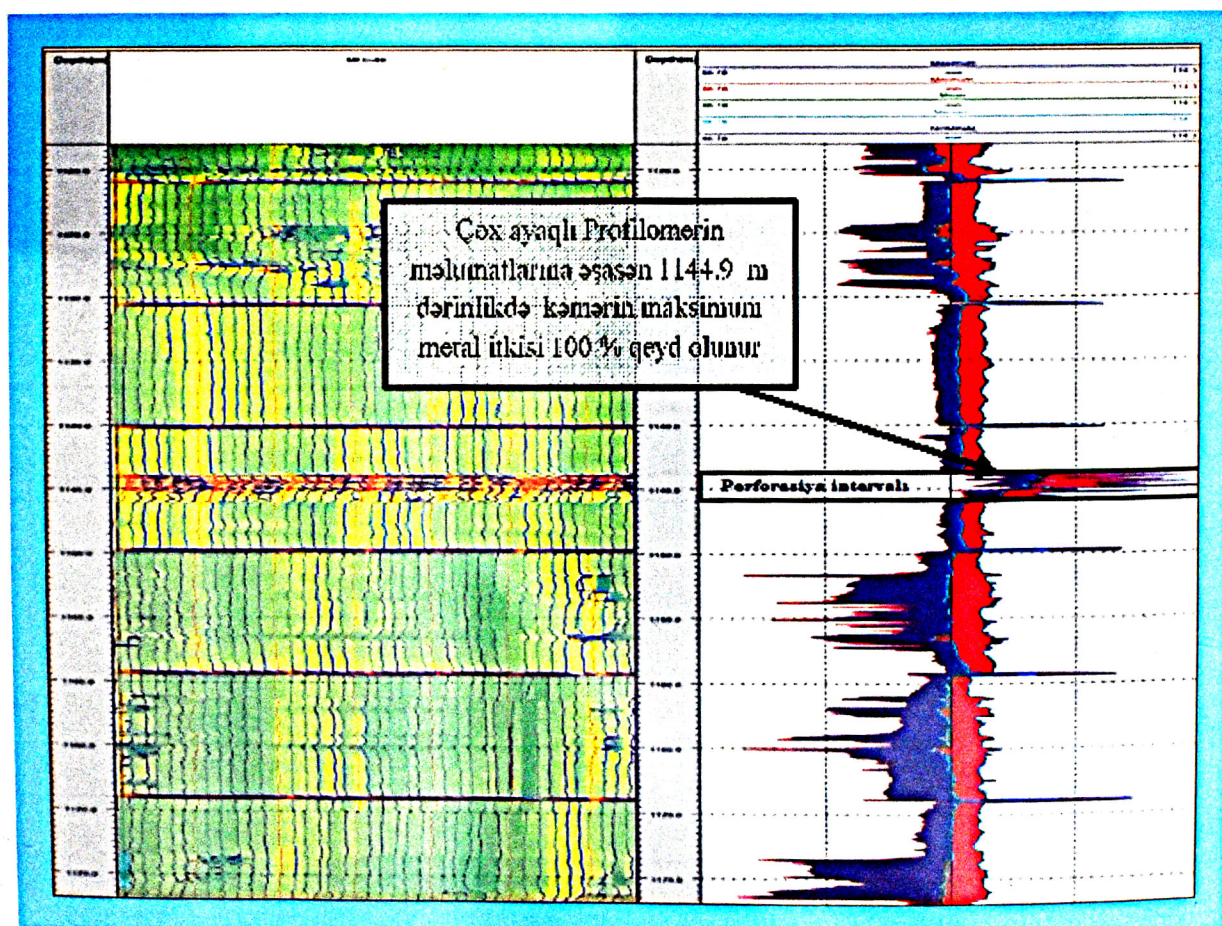
*Şəkil 5. İnrervallara uyğun diametrin artımının 3D təsviri*

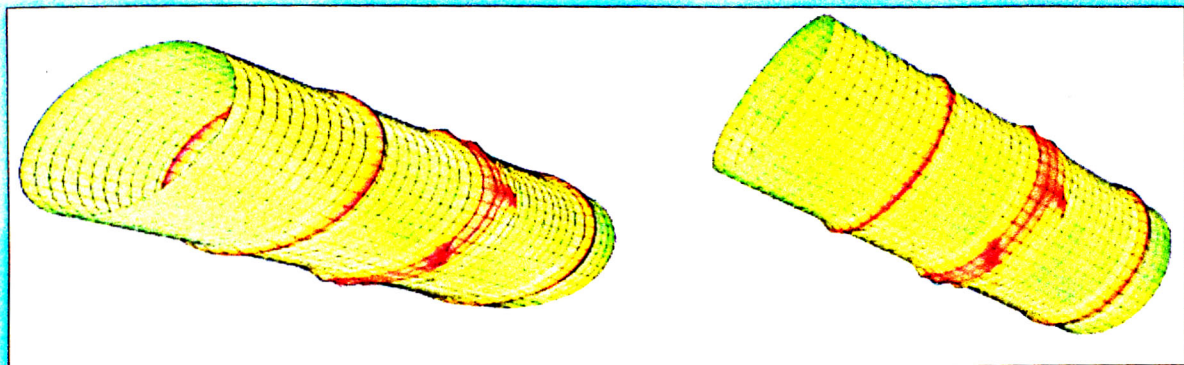
**Quyu B:** Coxayaqlı Profilomer (MFC40) cihazı ilə ölçü cihazı müvafiq olaraq 1068.3-1177.0 m intervallarında 114.3 mm (daxili diametr 100.5 mm) kəmərdə 1144.0-1146.0 m intervalında aparılan perforasiya işlərinin effektivliyinin yoxlanılması məqsədi ilə, kəmərlərin texniki vəziyyətinin öyrənilməsi işləri icra edilmişdir.

Alınan nəticələr qrafik təsvirlərin üzərində qeyd olunmuşdur.

#### *Nəticə*

1. Aparılan tədqiqatların nəticəsi bir daha göstərir ki, quyuların bütövlüyünün qiymətləndirilməsi işləri kompleks əyrilərlə (Qamma Karotaj, Termometr,





**Şəkil 6. İntervallara uyğun diametr artımının 3D-təsviri**

Cox ayaqlı kavernometriya, ANT, PLT, SNT) birlikdə analiz olunarsa daha müfəssəl nəticələr alınar.

2. Termometriya əyrilərində anomaliyaların olmasından kəmər arxasında flüidin hərəkətini göstərir ki, bu da kəmərlərdə yarana biləcək korroziyaya işarədir.

3. Səs-küy karotajının kompleks əyrilər fonunda zədə yerinin təyinində tətbiq olunması effektiv nəticələr verir.

4. Nəzərəalsaq ki, MFC-quyu cihazı yalnız kəmərin daxili diametr dəyişmələrini, çatların, zədələrin, perforasiya intervallarının dəqiq 3D təsvirini və istiqamətini təyin edir, bu cihazın MTD-ilə birlikdə istifadəsi kəmər qalınlığının dəyişməsinin ölçülməsini müəyyən edir.

5. Quyuda kəmərlərin korroziyasını sürətləndirən amillərdən biri kəmər arxası fəzada sement-kəmər, sement-süxur əlaqəsinin zəif, bəzi hallarda isə tamami ilə olmamasıdır. Quyularda CBL və ya RBT - ölçü işlərinin aparılması belə hallar üçün təkrar sementləmə işlərinin aparılması zəruriliyinin olub-olmamasını təyin edəcəkdir.

6. Quyuda korroziyanın vaxtında müəyyənləşdirilməsi və nəzarət (monitorinq), quyuya müdaxilənin vaxtında icrası, təmir tikinti işlərinin aparılması fonunda quyunun istismar müddətinin uzadılmasına səbəb olacaqdır.

7. Korroziyanın xəttılıyinin və səbəbinin müəyənləşdirilməsi dərinlik, lay və digər xarici təsirlərdən asılı olaraq mümkündür. Bunun üçün yataqda bir neçə quyuda tədqiqatın aparılması zəruridir.

8. Xüsusi zonalarda nasos kompressor borularının arxasındaki kəmərlərdə illik korroziyanın hesablanması və quyuda təmir-bərpa işlərinin dəyərinin proqnozlaşdırılması mümkündür.

#### ƏDƏBIYYAT

- Riaz-ud-Din, A. and Arif Rana, M.: "Effective and Eco-efficient Pipe Inspection in Heavy Mud Environment Using Induced Electro-Magnetic Measurement (EMDS)," paper SPE 156207 presented at the SPE/PAPG Annual Technical Conference held in Islamabad, Pakistan, 22-23 November 2011.
- Wheeler, R.R.: "Improving Field Economics Through the Use of Modern Casing-Corrosion Logging Tools and Techniques," paper SPE 49297 presented at the 1998 SPE Annual Technical Conference and Exhibition held in New Orleans, Louisiana, 27-30 September 1998.
- Xingfu, Z., Yingxiang, W., Qiang, L. and Xiwei, Y.: "Multi-Pipe String Electromagnetic Detection Tool and Its Applications," paper presented at the 8th International Conference on Electronic Measurement and Instruments held in Xian, China, 16-18 August 2007.
- Garcia, J., Yateem K., Sethi, N., Guergueb, N., Zhang, P., Succesful Application of a New Electromagnetic Corrosion Tool for Well Integrity Evaluation in Old Wells Completed with Reduced Diameter Tubular, presented at International Petroleum Technology.
- Conference held in Beijing, China, 26-28 March 2013.
- GoWell Research Team, Well Integrity Evaluation, GOWell International LLC, August 2017.
- Neft və qaz quyularında geofiziki tədqiqat və işlərin aparılması üzrə Texniki Təlimat (Rəhbər Sənəd), Bakı 2019.

*А.Махмудов, З.Ахундов*

## ЭФФЕКТИВНОСТЬ КОНТРОЛЯ ТЕХНИЧЕСКОГО СОСТОЯНИЯ СКВАЖИН С ПОМОЩЬЮ МЕТОДОВ ГИС НА ОСНОВЕ НОВЕЙШИХ ТЕХНОЛОГИЙ

### АННОТАЦИЯ

Сохранение целостности скважин при эксплуатации морских и наземных месторождений приводит к продлению срока эксплуатации скважин, определение мест повреждений и своевременное их устранение - к уменьшению дополнительных затрат времени. В результате роста числа скважин, эксплуатируемых в течение определённого промежутка времени, возникает необходимость проведения повторного контролирования барьеров, обеспечивающих, в основном, продление продуктивного эксплуатационного срока этих скважин.

Оценка целостности скважины в эксплуатационных колоннах и НКТ является одной из основных актуальных проблем. Решение этой задачи в нефтяной промышленности проводилось несколькими традиционными методами, однако во многих случаях эти методы выполнялись для механического измерения внутреннего диаметра только первого барьера электромагнитными приборами и приборами, измеряющими ультра-акустическую толщину, а это во многих случаях приводило к тому, что ограниченные проходы в конструкциях скважин ограничивало применение этих методов, а также не давало возможности для оценки нескольких концентрических трубопроводов. Оценка эксплуатационных и технических трубопроводов в скважинах, дополняющихся НКТ малого диаметра, становится невозможной традиционными приборами такого типа и возникает необходимость поднятия дополняющих труб и оценки наружных трубопроводов традиционными приборами, а это требует достаточно больших расходов. Новый МТД-прибор малого диаметра с технологией измерения электромагнитной толщины решает поставленные задачи в скважинах такого типа.

*A. Mahmudov, Z. Akhundov*

## EFFICIENCY OF LATEST WELL LOGGING TECHNIQUES APPLIED FOR CONTROL OVER TECHNICAL CONDITION OF PRODUCTION WELL

### ABSTRACT

Evaluation of well integrity in offshore and onshore wells allows to determine the damage places and repair them on time, leading to extension of the wells productive life and decreases additional time costs. As the number of wells increase over a period of time it needs re-inspection of these well barriers which provide extension of the wells productive life.

Evaluation of the well integrity in the production casing and tubing is one of the actual problems. The problem has been solved by several traditional methods in the oil industry, but in many cases these methods are performed only by mechanical measurement of the inner diameter of the first barrier, by use of electromagnetic, ultra-acoustic thickness measuring devices which are unable to evaluate integrity of several concentric casings and minimal restriction of the wells construction. Evaluation of the well integrity in the production casing and in a small completion tubing is not possible by these conventional tools and it needs to pull out the entire string and estimate outer casing and this requires high costs. New small diameter MTD tool with electromagnetic thickness measurement technology resolves the set tasks in this type of well.